

## تعهدنامه

اینجانب فرنوش قدیری دانشجوی دوره کارشناسی ارشد رشته مهندسی کامپیوتر گرایش هوش مصنوعی دانشکده مهندسی دانشگاه فردوسی مشهد نویسنده پایان نامه "ارزیابی پیچش عروق شبکیه با کمک تبدیل های چندرزو لوشنی" تحت راهنمایی دکتر حمیدرضا پور رضا متعدد می شوم:

- تحقیقات در این پایان نامه توسط اینجانب انجام شده و از صحت و اصالت برخوردار است.
- در استفاده از نتایج پژوهش‌های محققان دیگر به مرجع مورد استفاده استناد شده است.
- مطالب مندرج در پایان نامه تاکنون توسط خود و یا فرد دیگری برای دریافت هیچ نوع مدرک یا امتیازی در هیچ جا ارائه نشده است.
- کلیه حقوق معنوی این اثر متعلق به دانشگاه فردوسی مشهد می باشد و مقالات مستخرج با نام "دانشگاه فردوسی مشهد" و یا "Ferdowsi University of Mashhad" به چاپ خواهد رسید.
- حقوق معنوی تمام افرادی که در به دست آمدن نتایج اصلی پایان نامه تاثیرگذار بوده‌اند در مقالات مستخرج از رساله رعایت شده است.
- در کلیه مراحل انجام این پایان نامه، در مواردی که از موجود زنده (یا بافته‌های آنها) استفاده شده است ضوابط و اصول اخلاقی رعایت شده است.
- در کلیه مراحل انجام این پایان نامه، در مواردی که به حوزه اطلاعات شخصی افراد دسترسی یافته یا استفاده شده است، اصل رازداری، ضوابط و اصول اخلاق انسانی رعایت شده است.

تاریخ  
امضای دانشجو

### مالکیت نتایج و حق نشر

- کلیه حقوق معنوی این اثر و محصولات آن (مقالات مستخرج، کتاب، برنامه‌های رایانه‌ای، نرم‌افزارها و تجهیزات ساخته شده) متعلق به دانشگاه فردوسی مشهد می‌باشد. این مطلب باید به نحو مقتضی در تولیدات علمی مربوطه ذکر شود.
- استفاده از اطلاعات و نتایج موجود در پایان نامه بدون ذکر مرجع مجاز نمی‌باشد.

فرم شماره (۷)



دانشگاه فردوسی مشهد

پاگرد و مددگار کامپیوتر

صور تجلیسه دفاع از پایان نامه کارشناسی ارشد

جلسه دفاع از پایان نامه کارشناسی ارشد گرایش نرم افزار رشته کامپیوتر در حضور استاد راهنمای پایان نامه، مشاور، مدعوین و نماینده تحصیلات تکمیلی گروه کامپیوتر برگزار شد.

خانم آقای فرنوش قدیری پایان نامه خود تحت عنوان ارزیابی انحنای عروق با کمک تبدیل کانتورلت غیر زیر نمونه و ارائه نمودند. ارزیابی اعضای هیات داوران از این پایان نامه

۱۷۱۸ ..... به حروف ...

استاد راهنمای پایان نامه: دکتر پور رضا

استاد مشاور / مدعو: دکتر بنایی

استاد مدعو: دکتر هراتی

نماینده تحصیلات تکمیلی گروه: دکتر صدوqi

توضیحات:

بِسْمِ اللّٰهِ الرَّحْمٰنِ الرَّحِيْمِ



پایان نامه کارشناسی ارشد

# ارزیابی پیچش عروق شبکیه با استفاده از تبديل‌های چند رزولوشنی

نویسنده : فرنوش قدیری

استاد راهنما : دکتر حمیدرضا پور رضا

استاد مشاور : دکتر توکا بنایی



آزمایشگاه بینایی ماشین  
گروه مهندسی کامپیوتر  
دانشکده مهندسی  
دانشگاه فردوسی مشهد  
تلفن ۰۶۱ ۸۷۶ ۳۳۵۱

## تشکر و قدردانی

سپاس و تقدیر فراوان تقدیم به استاد ارجمند و دانشمند، جناب آقای دکتر حمیدرضا پوررضا که تأثیر موثر ایشان در سراسر این پژوهش منعکس است؛ استاد فرزانه‌ای که راهنمایی‌های ایشان توانایی کشف ادراکم را افزون‌تر و سطح درکم را عمیق‌تر نمود و جسارت گام برداشتن در وادی‌های ناشناخته را برایم فراهم کرد.

گستره‌ی اندیشه ام را مديون آموزه‌ها و روح بلند استاد فاضل مخانم دکتر توکا بنایی هستم که بذر اشتیاق به بیشتر دانستن را در وسعت ذهنم نشاندند. سپاس فراوان تقدیم ایشان.



## تقدیم به پدر عزیزم

کسی که مسیر سر بلندی را به شیوا ترین روش به من آموخت

## و تقدیم به روح پاک مادرم

که حسرت دویاره دیدنش همچون خیال باران در دشت کویر است

## چکیده

عروق شبکیه چشم دسترسی یکتا و آسانی را به پنجره مطالعات سلامت و بیماری سیستم گردش خون اندامهای حیاتی انسان به صورت مستقیم و بدون هیچ‌گونه آسیبی فراهم می‌کند. در دهه گذشته پیشرفت‌هایی که در تکنیک‌های تصویربرداری ته چشم صورت گرفته امکان توصیف دقیقی از کوچکترین تغییرات چشم را فراهم می‌آورند. این تغییرات کوچک را می‌توان به دو دسته اصلی تغییرات هندسی عروق (پیچش عروق) و بروز علائمی همچون میکروآنژزیم و لخته‌های خونی تقسیم کرد که در اثر بیماری‌های همانند دیابت و یا فشارخون رخ می‌دهند. با توجه به اینکه پیچ و خمدار شدن عروق جزء اولین علائمی است که در صورت بروز اینگونه بیماری‌ها رخ می‌دهد، تشخیص زودهنگام این بیماری‌ها با بررسی منظم مقدار پیچش عروق شبکیه از مشکلات غیر قابل بازگشت آنها جلوگیری می‌کند. همچنین محاسبه کمی پیچش عروق امکان مقایسه و بررسی وضعیت بیمار را در زمانهای مختلف به پزشک معالج می‌دهد. با وجود اهمیت بالای ارزیابی پیچش عروق شبکیه، تکنیک‌های اندکی در این حوزه ارائه شده‌اند که با تشخیص بالینی چشم‌پزشک مطابقت داشته باشند. به علاوه بار محاسباتی الگوریتم‌های موجود بالا و دقت آنها پایین است. لذا ارائه سیستمی که بتواند با دقت بالا و زمان مناسب مقداری را برای پیچش عروق شبکیه که منطبق با تشخیص چشم‌پزشک باشد، تخمین بزند ضروری به نظر می‌رسد.

در این پایان‌نامه سیستمی پیشنهاد می‌شود که در آن برای کاهش بار محاسبات مراحل اصلی الگوریتم‌های پیشین همانند استخراج خط مرکزی و مختصات رگ با استخراج ویژگی از تبدیل گابور جایگزین می‌شود. در این سیستم از تبدیل چندرزوکشی موجک گابور برای استخراج اطلاعات جهت‌دار و مقیاس رگ استفاده می‌کنیم. قبل از اعمال فیلتر گابور ابتدا مرزهای نامطلوب در اطراف تصویر شبکیه، ناشی از روزنه دید دوربین با کمک ابزارهای مورفولوژی حذف می‌شود. در گام بعدی فیلتر گابور در سه مقیاس و شانزده جهت در هر مقیاس به تصویر بدست آمده از مرحله قبل اعمال می‌شود. خروجی این مرحله از الگوریتم شانزده ماتریس ضرایب در هر مقیاس با ابعاد یکسان با تصویر اولیه است. با توجه به اینکه فرض اصلی سیستم پیشنهادی ما اینست که پیچش کل عروق از ترکیب انحنایهای محلی عروق با مقیاس یکسان بدست می‌آید، هر یک از زیرباندها و یا ماتریس‌های بدست آمده از آنها به پنجره‌های همپوشانی با ابعاد یکسان تقسیم می‌شوند. برای ارزیابی مقیاس یک قطعه رگ، ماتریس‌میم زیرباندهای گابور در هر مقیاس محاسبه می‌شود و سپس برای هر پنجره متضاظر با تصویر اصلی مقیاسی تعریف می‌شود که معادل مقیاسی از فیلتر گابور است که در آن

میانگین ضرایب آن پنجره از میانگین ضرایب همان پنجره در مقیاس‌های دیگر بزرگتر باشد. انحنای هر قطعه رگ از معکوس تفاضل دو جهت اصلی خم درون هر پنجره بدست می‌آید. این دو جهت معادل دو قله در بردار ویژگی حاصل از میانگین ضرایب یک پنجره در زیرباندهای مختلف مقیاس بدست آمده برای آن پنجره است. ترکیب انحنای‌های بدست آمده در هر مقیاس گابور و تقسیم آنها به تعداد پنجره‌هایی که رگ در آنها تشخیص داده شده است مقدار پیچش عروق شبکیه در هر مقیاس را تعیین می‌کند. برای محاسبه مقدار پیچش کل، ترکیب وزنی مقدار پیچش‌های بدست آمده از هر مقیاس محاسبه می‌شود. با توجه به اینکه تاثیر پیچش هر مقیاس در مقدار پیچش کل مشخص نیست وزنها با کمک الگوریتم ازدحام ذرات بدست می‌آیند. این الگوریتم با رتبه‌بندی که چشم‌پزشک به مجموعه تصاویر شبکیه داده است آموزش می‌بیند.

در این پایان‌نامه به منظور ارزیابی سیستم پیشنهادی از ضریب همبستگی اسپیرمن و میزان دقت الگوریتم در دسته‌بندی تصاویر شبکیه استفاده می‌کنیم. ضریب همبستگی اسپیرمن در الگوریتم پیشنهادی ما، که میزان مطابقت مقدار ارزیابی شده پیچش عروق توسط این سیستم را با تشخیص چشم‌پزشک برای رتبه‌بندی تصاویر می‌سنجد، ۹۶٪ بدست آمده است. همچنین دقت الگوریتم در دسته‌بندی عروق به سه دسته عروق با پیچش کم، متوسط و زیاد به طور میانگین ۸۴٪ است. در نهایت به منظور مقایسه نتایج سیستم پیشنهادی و الگوریتم‌های موجود، سیستم پیشنهادی را به مجموعه تصاویر گریسان اعمال می‌کنیم. نتایج حاصل از این آزمایش که با مقدار ضریب همبستگی اسپیرمن سنجیده می‌شود ۹۴٪ بدست آمده و در مقایسه با نتایج دیگر الگوریتم‌ها نشان می‌دهد که سیستم پیشنهادی ما مطابقت بیشتری با تشخیص چشم‌پزشک دارد.

## کلمات کلیدی:

شبکیه چشم، انحنای محلی رگ، پیچش عروق، تبدیل گابور، الگوریتم بهینه‌سازی

ازدحام ذرات، ضریب همبستگی اسپیرمن

## فهرست مطالب

i .....	تقدیر و تشکر
iii .....	چکیده
v .....	فهرست مطالب
vii .....	فهرست شکل‌ها
ix .....	فهرست جداول
۱ .....	۱- مقدمه
۲ .....	۲- مقدمه
۳ .....	۳- تعریف مساله
۴ .....	۴- نوآوری‌های پایان‌نامه
۵ .....	۵- ساختار پایان‌نامه
۷ .....	۷- ارزیابی انحناء و کاربردهای آن
۸ .....	۸- مقدمه
۸ .....	۸- ارزیابی انحناء و کاربردهای آن
۹ .....	۹- تکنیکهای مبتنی بر برآش دایره
۱۰ .....	۱۰- تکنیکهای مبتنی بر مسیر
۱۱ .....	۱۱- تکنیکهای مبتنی بر خط مماس
۱۲ .....	۱۲- تکنیکهای مبتنی بر برآش خط
۱۳ .....	۱۳- تکنیکهای مبتنی بر جهت
۱۵ .....	۱۵- ارزیابی انحناء با کمک الگو
۱۷ .....	۱۷- ارزیابی انحناء در کاربردهای مختلف
۱۷ .....	۱۷- قطعه‌بندی
۱۷ .....	۱۷- ۱- کانتور فعال
۱۸ .....	۱۸- ۲-۱- مجموعه‌های سطح سریع
۲۰ .....	۲۰- ۲-۷-۲-۲- تبدیل کرولت
۲۲ .....	۲۲- ۳- مروری بر کارهای گذشته
۲۳ .....	۲۳- ۱- مقدمه
۲۳ .....	۲۳- پیش‌پردازش
۲۳ .....	۲۳- ۱- استخراج رگ و خط مرکزی
۲۵ .....	۲۵- ۲- استخراج مسیر رگ
۲۵ .....	۲۵- ۱- پیگیری عروق از نقطه کور
۲۶ .....	۲۶- ۲- قطعه‌بندی عروق
۲۶ .....	۲۶- ۱-۲-۲-۲-۳- استخراج مسیر بین دو انشعاب
۲۸ .....	۲۸- ۲-۲-۲-۳- بخش‌بندی تصویر به قطعات کوچکتر
۳۰ .....	۳۰- ۳- ارزیابی انحناء رگ
۳۴ .....	۳۴- ۱- نرخ طول قوس بروتر (متريک فاصله)
۴۲ .....	۴۲- ۲-۳- اندازه‌گيری شامل پیچش
۴۷ .....	۴۷- ۳-۳-۳- تغییر زاویه جهت

# ارزیابی پیچش عروق با استفاده از تبدیل‌های چندمقیاسی



۴۹	۴-۳-۳- تکنیک‌های مبتنی بر دایره مماس
۵۰	۵-۳-۳- تکنیک‌های مبتنی بر آنالیز اجزاء اصلی
۵۲	۴-۳- مقایسه نتایج بدست آمده
۵۲	۱-۴-۳- شبیه‌سازی عروق
۵۳	۲-۴-۳- دسته‌بندی عروق
۵۵	۳-۴-۳- مرتب‌سازی عروق بر اساس افزایش پیچش
۵۶	۳-۵- جمع‌بعدی
۵۸	۴- روش پیشنهادی
۵۹	۱-۴- مقدمه
۶۰	۲-۴- تبدیل گابور
۶۱	۱-۲-۴- اساس تبدیل گابور موجک
۶۷	۳-۴- الگوریتم پیشنهادی
۶۷	۱-۳-۴- پیش پردازش
۶۸	۲-۳-۴- استخراج ویژگی
۷۲	۳-۳-۴- ارزیابی پیچش رگ
۸۰	۴-۴- تخمین پارامترها
۸۳	۵- آزمایش و ارزیابی سیستم پیشنهادی
۸۴	۱-۵- مقدمه
۸۴	۲-۵- پایگاه تصاویر
۸۶	۳-۵- پیاده‌سازی تکنیک پیشنهادی
۸۶	۴-۵- آزمایشات و نتایج سیستم پیشنهادی
۸۶	۱-۴-۵- معیار ارزیابی کارایی سیستم
۸۸	۲-۴-۵- نتایج سیستم پیشنهادی
۸۸	۱-۲-۴-۵- بررسی معیارهای پیچش
۸۹	۲-۲-۴-۵- اعمال الگوریتم به بانک تصاویر
۹۶	۳-۲-۴-۵- مقایسه زمان اجرای الگوریتم
۹۸	۶- نتیجه‌گیری و ارائه پیشنهادات
۱۰۰	۱-۶- نوآوری‌های کلیدی تحقیق
۱۰۱	۲-۶- کارهای آینده
۱۰۱	۱-۲-۶- تفکیک عروق به سه سطح
۱۰۱	۲-۲-۶- تشخیص انشعابات
۱۰۲	۳-۲-۶- پارامترهای سیستم
۱۰۳	مراجع

## فهرست شکل‌ها

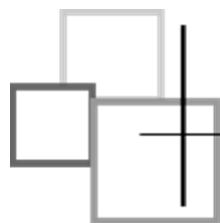
شکل ۱-۱: تصویر دو شبکه با پیچش عروق متفاوت (الف) نمایش یک شبکه با پیچش عروق کم (نرمال) ب) نمایش یک شبکه با پیچش عروق زیاد.....	۵
شکل ۱-۲: نمایش دایره مماس بر منحنی C.....	۹
شکل ۲-۲: یک رابطه خطی بین انحنای منحنی $\gamma$ در نقطه P و ناحیه بالای منحنی.....	۱۶
شکل ۳-۲: کاربرد الگو دایروی گسسته.....	۱۶
شکل ۴-۲: تخمین انحناء بوسیله برازش یک دایره بر روی ۳ نقطه (الف) برازش مناسب ب) دایره تخمین خوبی برای منحنی گذرنده از این نقطه نیست (ج) دایره هایی که از مجموعه نقاط می گذرنند شاعع یکسانی دارند.....	۱۸
شکل ۵-۲: (الف) ناحیه پس زمینه F (خاکستری روش) و مرز C با نقطه C نشان داده شده است. انحنای محلی (x) با کمک ناحیه S اشتراک $F \cap N_h(x)$ بدست می آید که در آن N یک همسایگی کوچک اطراف نقطه x است. (ب) جزئیات اطراف نقطه x مرکز مختصات انتقال یافته است.....	۱۹
شکل ۶-۲: قانون مقیاس سهمی برای تشخیص بهتر ناهمسانگردی.....	۲۱
شکل ۷-۲: نمایش انحناء بواسطه تجزیه کرولت در نمونه دست خط.....	۲۱
شکل ۱-۳: (الف) تصویر اصلی شبکه ب) عروق استخراج شده از تصویر (الف) (ج) خط مرکزی عروق(اسکت) تصویر (ب) با عرض یک پیکسل.....	۲۵
شکل ۲-۳: (الف) تقسیم بندی عروق به ۴ بخش به گونه ای که در هر قسمت دو قطعه رگ اصلی وجود دارد.....	۲۶
شکل ۳-۳: فاز اول الگوریتم تراکو برای استخراج مسیر رگ.....	۲۷
شکل ۴-۳: راست) قطعه انتخاب شده توسط چشم پزشک. چپ) بر حسب گذاری نقاط پایانی رگ.....	۲۷
شکل ۵-۳: پیگیری عروق و تولید کد زنجیره‌ای.....	۲۸
شکل ۶-۳: ارزیابی انحناء با تقسیم رگ به قطعات (الف) قطعه قابل قبول با انحراف زیاد از خط مستقیم (ب) قطعه غیر قابل قبول (ج) قطعه قابل قبول با انحراف کم از خط مستقیم.....	۲۹
شکل ۷-۳: (الف) اولین مرحله از قطعه بندی (ب) قطعه بندی نهایی.....	۳۰
شکل ۸-۳: (الف) ماکریزم پیچش ممکن ب) چهار قطعه رگ با اسکلت یکسان و انحنای متفاوت.....	۳۱
شکل ۹-۳: دو قطعه رگ با انحنای یکسان.....	۳۲
شکل ۱۰-۳: نمایش تقسیم رگ‌یال برای تخمین انحنای آن با تغییرات نسبی طول.....	۳۴
شکل ۱۱-۳: رابطه بین قوس و وتر یک منحنی.....	۳۵
شکل ۱۲-۳: (الف) دو منحنی (الف) و (ب) انحنای مختلفی دارند ولی طول L و طول وتر X یکسانی دارند. منحنی (ب) و (ج) اختلاف زاویه‌ای میانگین مشابه‌ای دارند علی رغم اینکه انحنای آنها متفاوت است. انتگرال انحناء آخرین منحنی (ج) برابر $2\pi/\Delta$ در صورتیکه انتگرال انحناء منحنی دوم $\pi$ است در حالیکه در منحنی اول ما انحنای بیشتری را ملاحظه می کنیم.....	۳۷
شکل ۱۳-۳: قالب فرنت (چپ) تعیین بردار سرعت V و شتاب A (راست) استخراج قالب فرنت از بردارهای V و A.....	۳۸
شکل ۱۴-۳: سه منحنی با انحنای یکسان ولی ظاهر متفاوت.....	۳۹
شکل ۱۵-۳: رگ و تقریب‌های متواലی آن پس از تقسیم متواالی قطعات به دو (الف) و تر یک قطعه رگ ب) قطعه رگ به دو قطعه با وترهای l <sub>1</sub> و l <sub>2</sub> تقسیم می شود (ج) تقسیم‌های بیشتر دو قطعه رگ.....	۴۱

شکل ۱-۳: فاصله $\delta$ از اختلاف بین دو گرادیان دو قطعه رگ متواالی حاصل می‌شود و بزرگی آن به عنوان اندیس برای ارزیابی انحناء رگ در نظر گرفته می‌شود.....	۴۴
شکل ۱۷-۳: نقطه اسکلت رگ و نقاط مرزی وابسته به آن.....	۴۵
شکل ۱۸-۳: مقدار انحناء هر پیکسل بر روی یک قطعه رگ.....	۴۷
شکل ۱۹-۳: مقیاس تغییر جهت انحناء (الف) نمایش یک رگ با تغییرات ملایم در طول خط (ب) تغییرات شدید انحناء در یک ناحیه محلی.....	۴۸
شکل ۲۰-۳: محاسبه زاویه درون صفحه و $\phi$ در نقطه $k$ .....	۴۹
شکل ۲۱-۳: نمایش دایره‌ای با شعاع‌های متفاوت بر روی یک پیکسل از قطعه رگ.....	۵۰
شکل ۲۲-۳: PCA بر روی یک قطعه رگ.....	۵۲
شکل ۲۳-۳: رگ شبیه سازی شده با تقسیم یک نیم دایره به قوس‌های کوچکتر.....	۵۳
شکل ۲۴-۳: نمونه‌ای از تصاویر بانک گریسان (الف) شریان مورد نظر با علامت مشخص شده است (ب) ورید مورد نظر با علامت مشخص شده است.....	۵۶
شکل ۱-۴: مثالی از $(x)$ با سهتابع مختلف $f_0 = 0, 0.5$ و $1$ برای هر $3$ تابع و تحلیل مکان-فرکانسی بوسیله تبدیل گابور است. که (الف) قسمت واقعی $(x)\varphi$ و (ب) بزرگی تابع گابور $(x)\varphi$ را نشان می‌دهد.....	۶۲
شکل ۲-۴: مثالی از $(x)\phi$ تعیین یافته با سه $f_0 = 0.5, 1$ و $2$ و $\alpha = 0.5, 1$ و $\gamma = 2$ و آنالیز‌های مکان-فرکانسی بوسیله تبدیل گابور. که (الف) (ب) (ج) قسمت واقعی $(x)\varphi$ و (د) (ز) بزرگی تابع گابور $(x)\varphi$ را نشان می‌دهد.....	۶۳
شکل ۳-۴: مثالی از قسمت واقعی موجک‌های گابور در $4$ مقیاس و $8$ جهت. $f_{max}$ برابر $0.35$ با $\eta = 1.2$ .....	۶۶
شکل ۴-۴: پوشش صفحه فرکانسی مکان، خانواده موجک‌های گابور در $4$ مقیاس و $8$ جهت.....	۶۶
شکل ۵-۴: بلوک دیاگرام الگوریتم پیشنهادی.....	۶۷
شکل ۶-۴: پیش پردازش تصویر شبکیه به منظور حذف تاثیر نامطلوب مزها (الف) تصویر اصلی، (ب) تصویر پیش پردازش شده با مرزهای توسعه یافته.....	۶۸
شکل ۷-۴: پروفایل سطح خاکستری بخش عرضی رگ و تخمین آن با یک تابع گوسی.....	۶۹
شکل ۸-۴: نمایش‌های متفاوت از فیلتر گابور دو بعدی $\psi$ با $\epsilon = 4$ و $[0, 3] = k_0$ (الف) قسمت موهومی (ب) قسمت حقیقی (ج) نمایش سطح قسمت حقیقی.....	۷۰
شکل ۹-۴: (الف) تصویر حاصل از ماکریم ضرایب زیرباندهای مقیاس دو (وضوح عروق باریک) (ب) تصویر حاصل از ماکریم ضرایب زیرباندهای مقیاس چهار (وضوح بیشتر عروق پهن).....	۷۱
شکل ۱۰-۴: پنجره همپوشان با ابعاد $n \times n$ میزان همپوشانی $r$ .....	۷۲
شکل ۱۱-۴: بردار ویژگی حاصل از میانگین ضرایب گابور، (الف) بردار ویژگی پنجره‌ی قرار گرفته بر روی یک قطعه رگ، (ب) بردار ویژگی پنجره قرار گرفته بر روی پس زمینه.....	۷۴
شکل ۱۲-۴: نمایش یک قطعه رگ خمیده با دو قطعه خط تشکیل دهنده آن.....	۷۵
شکل ۱۳-۴: بردار ویژگی حاصل از میانگین ضرایب گابور، (الف) بردار ویژگی پنجره‌ی قرار گرفته بر روی یک قطعه رگ، (ب) بردار ویژگی پنجره قرار گرفته بر روی پس زمینه.....	۷۶
شکل ۱۴-۴: بردار ویژگی حاصل از میانگین ضرایب گابور.....	۷۷
شکل ۱۵-۴: برچسب اختصاص داده شده به هر یک از زیرباندهای گابور.....	۷۹
شکل ۱۶-۴: دو شبکیه با پیچش عروق متفاوت (الف) شبکیه‌ای با پیچش عروقی بزرگتر از تصویر (ب) و چگالی عروق کمتر.....	۸۰
شکل ۱۷-۴: مراحل الگوریتم بهینه‌سازی از دحام ذرات.....	۸۲
شکل ۱-۵: تصاویر شبکیه رتبه‌بندی شده به ترتیب افزایش پیچش (از چپ به راست) توسط چشم پزشک در زمان اول.....	۸۴
شکل ۲-۵: تصاویر شبکیه رتبه‌بندی شده به ترتیب افزایش پیچش (از چپ به راست) توسط چشم پزشک در زمان دوم.....	۸۵

شکل ۵-۳: نمونه‌ای از مجموعه تصاویر گریسان (الف) دو تصویر از تصاویر شریان با حداقل و حداکثر پیچش از چپ به راست (ب) دو تصویر از تصاویر وربید با حداقل و حداکثر پیچش از چپ به راست .....	۸۵
شکل ۵-۴: نمونه‌ای از تصاویر شبکیه در سه کلاس مختلف (الف) پیچش عروق کم (ب) پیچش عروق متوسط (ج) پیچش عروق زیاد .....	۸۷
شکل ۵-۵: معیار پیچش به صورت تابعی از دامنه .....	۸۸
شکل ۵-۶: معیار پیچش به عنوان تابعی از فرکانس .....	۸۹

## فهرست جداول

جدول ۱-۳: معیارهای مختلف برای ارزیابی انحناء.....	۴۲
جدول ۲-۳: کارایی دسته بندی به صورت ماتریس درهم ریختگی.....	۵۵
جدول ۳-۳: ضریب همبستگی اسپیرمن مقیاس‌های پیچش مختلف با رتبه‌بندی چشمپیشک.....	۵۶
جدول ۱-۵: مقدار پیچش در سه مقیاس مختلف برای مجموعه تصاویر خاتم الاینیاء.....	۹۰
جدول ۲-۵: ضریب همبستگی مقدار پیچش تصاویر در سه مقیاس با رتبه‌بندی اول ۲.....	۹۰
جدول ۳-۵: ضریب همبستگی مقدار پیچش تصاویر در سه مقیاس با رتبه‌بندی دوم.....	۹۰
جدول ۴-۵: وزنهای بدست آمده از الگوریتم PSO برای دو رتبه‌بندی مختلف تصاویر شبکیه.....	۹۱
جدول ۵-۵: وزنهای بدست آمده از الگوریتم PSO برای دو رتبه‌بندی مختلف تصاویر شبکیه.....	۹۱
جدول ۶-۵: مقدار پیچش کل عروق با در نظر گرفتن وزنهای بدست آمده از جدول ۴-۵.....	۹۲
جدول ۷-۵: کارایی الگوریتم دسته‌بندی با وزن‌های بدست آمده از رتبه‌بندی اول به صورت ماتریس درهم ریختگی.....	۹۳
جدول ۸-۵: کارایی الگوریتم دسته‌بندی با وزن‌های بدست آمده از رتبه‌بندی دوم به صورت ماتریس درهم ریختگی.....	۹۳
جدول ۹-۵: مقدار پیچش ارزیابی شده در مقیاس دوم برای مجموعه تصاویر گریسان.....	۹۵
جدول ۱۰-۵: ضریب همبستگی مقدار پیچش بدست آمده از معیارهای مختلف ارزیابی پیچش با رتبه‌ی تصاویر بانک گریسان.....	۹۶
جدول ۱۱-۵: زمان اجرای الگوریتم گریسان و تراکو.....	۹۷
جدول ۱۲-۵: زمان اجرای الگوریتم پیشنهادی.....	۹۷



۱ - مقدمه

## ۱-۱ مقدمه

تحلیل تصاویر پزشکی یکی از حوزه‌های تحقیق است که به تازگی نظر بسیاری از محققین و پزشکان را به خود جلب کرده است. این حوزه شامل مطالعه تصاویر دیجیتال با هدف فراهم کردن ابزار محاسباتی برای کمک به کمی کردن و آشکار کردن ساختارهای تشريحی<sup>۱</sup> و پاتولوژی‌های مورد نظر است. فعالیت‌هایی که در سالهای اخیر در این حوزه انجام شده است به طور قابل ملاحظه‌ای درمان‌های پزشکی حاضر برای بیماران را تحت تاثیر قرار داده است. در حال حاضر پزشکان بسیار کارتر از گذشته می‌توانند به منظور تشخیص، درمان و بررسی تغییرات و مکانزیم‌بدن، درون بدن انسان را مورد آزمایش قرار دهند و می‌توانند ارزیابی‌های دقیق‌تری را بدست آورند. با این وجود این کار چند رشتۀ‌ای<sup>۲</sup> نیاز به یک مطالعه جامع در زمینه‌های پردازش تصویر، بینایی ماشین، یادگیری ماشین و شناسایی الگو، را دارد [Osa03].

عروق شبکیه یک فرصت مستقیم و بدون آسیب را برای مشاهده سیستم گردش خون انسان فراهم می‌آورند. در این راستا مطالعات زیادی تاثیر بیماری‌های گوناگون همچون دیابت و فشارخون را بر تغییرات عروق شبکیه (قطر عروق، بعد فرکتال، پیچش عروق) تایید می‌کنند.

فشارخون بیماری است که بدون علائم مشخصی به اندام‌های حیاتی بدن آسیب می‌رساند و فقط زمانی دارای علائم است که فرد دچار بحران فشارخون شود که در این صورت فرد دچار سردرد و در مواردی تهوع و استفراغ می‌شود. در هایپرتانسیون قلب، کلیه، مغز و عروق درگیر می‌شود. عوارض فشارخون بر چشم در شایع‌ترین حالت که بالا بودن فشارخون به طور مزمن است عمدتاً در بالغین مشاهده می‌شود. بسته به میزان بالای فشارخون و مدت زمانی که از آن می‌گذرد علائم مختلفی در شبکیه بروز می‌کند. اگر فشارخون در حد متوسط و کمی بالا باشد، در شبکیه فقط باریک شدن عروق (عمدتاً شریانها) مشاهده می‌شود و حالت پیچ و خم‌دار به خود می‌گیرند. در غیر اینصورت عوارض تحلیل سر عصب بینایی و نابینایی شدید حاصل می‌گردد. در مواردیکه فشارخون بالاتر باشد (متوسط تا شدید) علاوه بر موارد فوق از دیواره رگ‌های چشم تراوشهای پروتئینی و چربی به خارج رخ داده که در روی شبکیه رسوب می‌کند. در حالات شدیدتر (فشارخون خیلی بالا) تمام حالات بالا به همراه پارگی کوچک و ظرفی شبکیه رخ داده که منجر به خونریزی‌های نقطه‌ای و یا شعله شمعی در روی شبکیه می‌گردد که بسته به مکان بروز این خونریزی‌ها می‌تواند موجب اختلال در

<sup>1</sup> Anatomical

<sup>2</sup> Multidisciplinary

کارکرد شبکیه و نیز افت دید بیمار گردد. در موارد فشارخون‌های خیلی بالا یا مواردیکه علائم فشارخون خیلی پیشرفته باشد، تورم و بر جستگی سر عصب بینایی رخ می‌دهد که پیش آگهی بسیار بدی دارد و در این موارد باید به طور اورژانس فشارخون بیمار کنترل گردد و به حد مطلوب و مجاز رسانده شود [Ngu07].  
 بیماری دیابت همانند فشارخون موجب بروز عوارضی در سطح شبکیه می‌شود. رتینوپاتی دیابتی به آسیب شبکیه چشم که در اثر بیماری دیابت بوجود آمده است می‌گویند. رتینوپاتی دیابتی عارضه‌ای ناشی از دیابت است که بدلیل تغییرات ایجاد شده در رگهای خونی رخ می‌دهد. رتینوپاتی دیابتی یکی از علل اصلی کاهش دید است و کسانیکه دیابت درمان نشده دارند ۲۵ برابر شانس بیشتری را برای کوری نسبت به افراد عادی دارند. آسیب شبکیه در اثر دیابت در کشورهای پیشرفته شایعترین علت کوری محسوب می‌شود. در اثر بیماری دیابت، عروق آسیب می‌بینند و این آسیب عروقی در هر جایی می‌تواند رخ دهد. آسیب عروق در عضله قلب با بیماری ایسکمی قلبی و سکته‌های قلبی مرتبط است و آسیب عروق در شبکیه چشم مسئول تغییرات بینایی است. در مراحل اولیه آسیب شبکیه در اثر دیابت، عروق خونی شبکیه ضخیم و تنگ و پیچ خورده می‌شوند. همچنین از دیواره آنها پلاسمای ناشت می‌کند که باعث تاری دید می‌شود. در مراحل پیشرفته‌تر بیماری، در اثر برآورده نشدن نیازهای غذایی و اکسیژن سلول‌های بینایی در شبکیه، رگ‌سازی در شبکیه شروع می‌شود. رگ‌های جدید بسیار شکننده هستند، در درون چشم خونریزی می‌کنند، و در نهایت آسیب جدی به بینایی و موجب کوری را می‌شوند [Sas11].

بیماری دیگری که با افزایش پیچ و خم عروق شبکیه و عرض آنها توصیف می‌شود رتینوپاتی در نوزادان نارس است. رتینوپاتی در نوزادان نارس<sup>1</sup> که به آن فیبروپلازی پشت عدسی<sup>2</sup> نیز گفته می‌شود می‌تواند سبب کوری شود. دلیل اهمیت این بیماری اینست که احتمال وقوع عارضه ۱۶ تا ۲۲ درصد، در نوزادان نارس است. این بیماری یکی از علل اصلی کوری در نوزادان می‌باشد، به طوری که علت ۳ تا ۱۱ درصد کوری کودکان را شامل می‌شود. این بیماری که در گذشته ناشی از استفاده از مقادیر زیاد اکسیژن در دستگاه‌هایی بود که نوزادان نارس در آنها نگهداری می‌شوند ولی امروزه با پیشرفت در روش‌های نگهداری از نوزادان نارس، بروز این بیماری کمتر شده است. عواملی که نوزاد را در معرض خطر بیشتری برای ابتلا به رتینوپاتی قرار می‌دهند کم بودن وزن هنگام تولد (کمتر از ۱.۵ کیلوگرم) و زایمان زودرس (هفته ۲۶ تا ۲۸) هستند.  
 در کودکان نارس رشد و تکامل عروق خونی شبکیه دچار اشکال بوده و عروق خونی غیر طبیعی شروع به

<sup>1</sup> Retinopathy Of Prematurity(ROP)

<sup>2</sup> Retrobulbar Fibroplasia

رشد می‌کنند. مشکل رشد عروق غیر طبیعی که به آن نئوواسکولاریزاسیون نیز می‌گویند این است که اکسیژن کافی به شبکیه نمی‌رسانند.

رتینوپاتی در نوزادان نارس بسته به شدت بیماری به ۵ درجه تقسیم می‌شود. پیشرفت بیماری به درجات آخر می‌تواند سبب ایجاد زخم در شبکیه و عوارضی نظیر جدا شدگی شبکیه، خونریزی زجاجیه، انحراف چشم و تنبی چشم شود. بسیاری از نوزادان مبتلا به رتینوپاتی دچار نزدیک بینی خواهند شد [Hen02].

## ۱-۲ تعریف مساله

مشاهده تکنیکی سطح داخلی چشم<sup>۱</sup> یکی از ابزارهای موثر در شناسایی و نظارت بر علائم پاتولوژیک حاصل از بیماری‌های قلبی و عروقی، عصبی و سیستم متابولیسم غدد درون‌ریز است [Won01]. اگر تحلیل دقیق و علمی از علائم در هنگام شروع عارضه صورت گیرد، اکثر بیماری‌های شبکیه چشم ناشی از دیابت و فشارخون را می‌توان در مراحل اولیه تشخیص و درمان کرد. این تحلیل‌ها باید به اندازه کافی حساس به کوچکترین علائم پاتولوژیک باشند و همچنین به اندازه کافی مقاوم باشند که قابلیت مقایسه نتایج با استانداردهای بالینی قابل قبول و نتایج بدست آمده از یک بیمار دیگر با علائم مشترک در زمانهای مختلف را داشته باشند.

رتینوپاتی دیابتی، فشارخون و رتینوپاتی در نوزادان نارس از جمله بیماری‌هایی هستند که با تحلیل تصاویر ته چشم<sup>۲</sup>، می‌توانند در مراحل اولیه بیماری شناسایی شوند. بنابراین انتظار ما از سیستم‌های کامپیوتربی اینست که توانایی شناسایی نخستین علائم رتینوپاتی را داشته باشند و همچنین بتوانند تشخیص معقولی بر پایه بعضی شرایط تعیین شده بوسیله چشم پزشک را بدهنند. انتظار می‌رود که سیستم ارائه شده تنها تعمیمی از توانایی و بهره‌وری چشم پزشک در طول آزمایش نباشد، بلکه یک ابزار خودکار برای آزمایشهای رتینوپاتی دیابتی باشد [Owe08].

در ارزیابی رتینوپاتی‌های<sup>۳</sup> اشاره شده در بالا، زمانی که هیچ نشانه عمده‌ای از عوارض شبکیه از قبیل لخته خون و یا ماده مترشحه وجود ندارد، یک رویه تشخیص بالینی با ارزیابی دقیقی از ویژگی‌های اصلی رگ‌های شبکیه افزایش پیچش<sup>۴</sup> در مسیر عروق را تشخیص می‌دهد. ویژگی‌های مورفولوژی شبکه عروق شبکیه اغلب

<sup>1</sup> Ocular fundus

<sup>2</sup> Fundus image

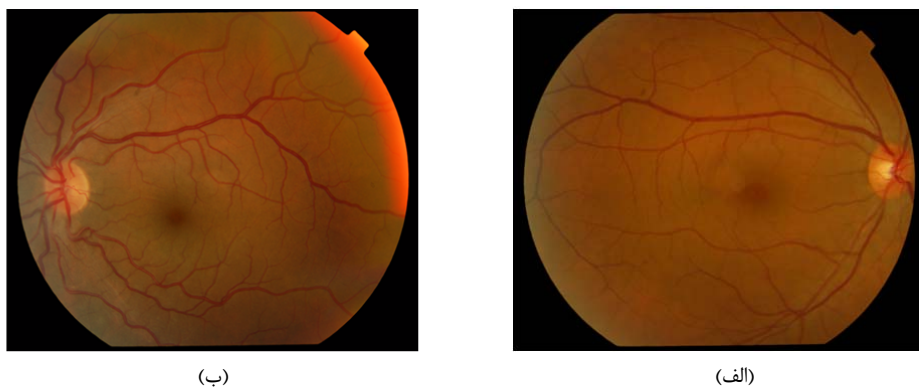
<sup>3</sup> اختلالاتی که موجب آسیب به شبکیه چشم می‌شود

<sup>4</sup> Tortuosity

نخستین نشانه‌هایی هستند که رتینوپاتی را در مراحل اولیه مشخص می‌کنند و یا یک شاخص پیش‌بینی برای رتینوپاتی در نوزادان زودرس<sup>۱</sup> هستند.

در این نوع بیماری‌ها رگهای خونی غیر مستقیم (پیچ و خم‌دار) می‌شوند، آنها بزرگ‌تر و مسیر آنها پر چین‌تر می‌شود. گسترش بوسیله انبساط شعاعی رگهای خونی رخ می‌دهد و مسیرهای مارپیچی به علت انبساط طولی رخ می‌دهد. انحناها ممکن است به صورت موضعی، در ناحیه کوچکی از رگهای خونی شبکیه رخ دهد یا تمام رگهای شبکیه را در بر بگیرد. پیچش عروق را می‌توان داشتن ظاهری ناهموار در مسیر رگ تعریف کرد. در شکل ۱-۱ دو شبکیه چشم با پیچش عروق متفاوت نشان داده شده است.

با وجود اینکه اثبات شده است که شدت بیماری رابطه‌ای با افزایش پیچش عروق در رتینوپاتی نوزادان زودرس، رتینوپاتی فشارخون و در موارد نادری رتینوپاتی ارثی دارد هیچ معیار علمی و کمی دقیقی که با درک بالینی چشم پزشک مطابق باشد، برای ارزیابی پیچش وجود ندارد [Gri08].



شکل ۱-۱ تصویر دو شبکیه با پیچش عروق متفاوت (الف) نمایش یک شبکیه با پیچش عروق کم (نرمال) ب) نمایش یک شبکیه با پیچش عروق زیاد.

### ۱-۳ نوآوری‌های پایان‌نامه

استخراج عروق از تصاویر شبکیه به عنوان یک مرحله پیش پردازش جدانشدنی از الگوریتم‌های موجود ارزیابی پیچش عروق است. بسیاری از الگوریتم‌های استخراج رگ موجود از قبیل تکنیک‌های مبتنی بر فیلتر تطابق و یا تکنیک‌های مبتنی بر قطعه خط در برخورد با انشعابات و یا انحنای شدید رگ ناتوان هستند. بنابراین دقت و سرعت محاسبات این بخش از سیستم کارایی کل سیستم ارزیابی پیچش عروق را تحت تاثیر

<sup>۱</sup> Retinopathy of prematurity

خود قرار می‌دهد. همچنین در گام‌های بعدی نیز خطاهای حاصل از استخراج مسیر رگ در صورت استفاده از الگوریتم‌های خودکار اجتناب ناپذیر و در شرایطی که به صورت دستی استخراج شود بسیار زمان بر است [Ken04]. در سیستم پیشنهادی، تلاش شده است که الگوریتمی کاملاً خودکار بدون نیاز به مراحل پیش‌پردازش از قبیل استخراج رگ و مسیر آن برای ارزیابی پیچش عروق به تفکیک قطر آنها ارائه شود. حذف مراحل استخراج رگ و به تبع آن حذف گام پیگیری مسیر رگ علاوه بر کاهش بار محاسباتی، سیستم را مقاوم‌تر می‌سازد. برای این منظور، از فیلتر موجک گابور برای استخراج ویژگی‌های جهت‌دار تصویر شبکیه بهره می‌گیریم.

در الگوریتم‌های پیشین تنها رگهای اصلی تصویر (شريان و ورید اصلی و یا رگهای عریض) مورد بررسی قرار گرفته‌اند. در حالیکه، در سیستم پیشنهادی به منظور بررسی دقیق میزان پیچش در سه سطح عروق عریض، متوسط و باریک، با کمک فیلتر گابور، عروق شبکیه را به سه سطح تقسیم می‌کنیم و سپس پیچش عروق هر سطح را تخمین می‌زنیم.

در نهایت به منظور ارزیابی سیستم پیشنهادی، میزان همبستگی مجموعه‌ای از تصاویر شبکیه که توسط پژوهش متخصص به ترتیب افزایش پیچش مرتب شده‌اند با مقدار پیچش عروق بدست آمده از سیستم پیشنهادی پیچش عروق بدست آمده از هر تصویر، محاسبه می‌شود. این در حالی است که کارایی الگوریتم‌های پیشین تنها با دسته‌بندی آنها به دو گروه عروق با پیچش و عروق بدون پیچش سنجیده شده است.

## ۱-۴ ساختار پایان نامه

الگوریتم‌های ارزیابی پیچش عروق مبتنی بر روش‌های ارزیابی انحناء<sup>۱</sup> هستند. بنابراین در این پایان نامه ابتدا روش‌های ارزیابی انحناء و کاربردهای آنها بررسی می‌شود و سپس در بخش سوم تکنیک‌های پیشین ارزیابی پیچش عروق بررسی می‌شود. الگوریتم سیستم پیشنهادی در بخش ۴ معرفی و بررسی می‌شود و نتایج حاصل از پیاده‌سازی سیستم پیشنهادی به همراه مقایسه آن با دیگر الگوریتم‌ها در این زمینه در بخش ۵ آورده شده است. در نهایت نتیجه‌گیری کلی به همراه پیشنهادات برای کارهای آتی در فصل آخر آورده شده است.

<sup>1</sup> Curvature